

6. ภาคผนวก

- การวัดแอคติวิตีของเอนไซม์ในเตอร์ดิักเทส ประยุกต์ไว้ของ Nakamura และ Ikawa (1993)

การเตรียมกราฟมาตราฐานในไตรต์

- เตรียมหลอดทดลองที่มีในไตรต์ 0.02, 0.04, 0.06, 0.08, และ 0.1 μmole ในสารละลาย มาตรฐาน 1.0 มิลลิลิตร โดยใช้สารละลาย 0.2 มิลลิโมลาร์ KNO_2
- เติม 1% (w/v) sulfanilamide ใน 1.5 มิลลิโมลาร์ HCl 0.5 มิลลิลิตร
- ทำให้เกิดสีโดยเติม 0.002% (w/v) N-(1-naphthyl) ethylenediamine.2HCl เขย่าให้เข้ากัน วางไว้ 20 นาที
- อ่านค่าการดูดกลืนแสงที่ความยาวคลื่น 540 นาโนเมตร

การวัดแอคติวิตีของเอนไซม์ในเตอร์ดิักเทส

สารสมสำหรับการทำปฏิกิริยา ประกอบด้วย

ส่วนประกอบ	ปริมาณในการวิเคราะห์ (ml)	Blank (ml)
น้ำกลั่น	0.4	0.7
1.0 M Tris-HCl buffer pH 7.5	0.1	0.1
0.1 M KNO_3	0.1	0.1
sample	0.3	-

- เริ่มปฏิกิริยาโดยเติม 1.0 มิลลิโมลาร์ NADH 0.1 มิลลิลิตร ใช้เวลาในการทำปฏิกิริยา 10, 20, 30 และ 40 นาที
- หยุดปฏิกิริยาโดยเติม 1% (w/v) sulfanilamide ใน 1.5 มิลลิโมลาร์ HCl 0.5 มิลลิลิตร
- ทำให้เกิดสีโดยเติม 0.002% (w/v) N-(1-naphthyl) ethylenediamine.2HCl เขย่าให้เข้ากัน วางไว้ 20 นาที
- อ่านค่าการดูดกลืนแสงที่ความยาวคลื่น 540 นาโนเมตร

2. การหาปริมาณโปรตีน

วัดปริมาณโปรตีนโดยประยุกต์วิธีของ Lowry และคณะ (1951) ซึ่งใช้ bovine serum albumin เป็นโปรตีนมาตรฐาน ความเข้มข้น 2 มิลลิกรัมต่อมิลลิลิตร นำมาใส่หลอดทดลองให้มีโปรตีนปริมาณ 20, 40, 60, 80, 100 และ 120 ไมโครกรัม ปรับปริมาตรด้วยน้ำกลั่นให้ได้ 0.1 มิลลิลิตรต่อน้ำหลอดการสร้างกราฟมาตรฐานโปรตีน

ส่วนประกอบ	ปริมาตรในการวิเคราะห์ (ml)	Blank (ml)
น้ำกลั่น	-	0.1
สารละลายโปรตีนมาตรฐาน	0.1	-
10%Deoxycholate	0.4	0.4
2%Na ₂ CO ₃ ใน 0.1 N NaOH	3.0	3.0
1%CuSO ₄ +2%Na/K tartrate	0.1	0.1

เขย่าให้เข้ากัน ตั้งทิ้งไว้ที่อุณหภูมิห้อง 10 นาที เติมสารละลาย Folin Ciocalteu's phenol reagent ในน้ำกลั่น (1:1) 0.3 มิลลิลิตร เขย่าให้เข้ากันwangทิ้งไว้ 30 นาที นำไปค่าน้ำหนักดูดกลืนแสงที่ความยาวคลื่น 600 นาโนเมตร

การหาปริมาณโปรตีนจากสารตัวอย่าง

เจือจางโปรตีนในสารตัวอย่างด้วยน้ำกลั่นให้ได้ปริมาณโปรตีนอยู่ในช่วง 20-100 ไมโครกรัมต่อมิลลิลิตร นำมาใส่หลอดทดลองแล้วหาปริมาณโปรตีนเท่านเดียวกับการวัดปริมาณโปรตีนมาตรฐาน

3. การวัดปริมาณในเตอร์ต โดยประยุกต์วิธีของ Cataldo และคณะ (1975)

การเตรียมกราฟมาตรฐานในเขต

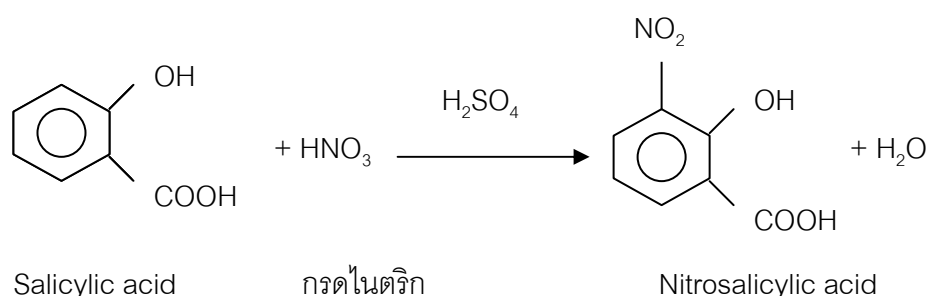
เตรียมหลอดทดลองที่มี KNO_3 เข้มข้น 0.1, 0.2, 0.3, 0.4, 0.5, 0.6 และ 0.7 มิลลิโมลต่อ 0.2 มิลลิลิตร จากสารละลายนี้ 5 มิลลิลิตร KNO_3

ส่วนประกอบ	ปริมาณในการวิเคราะห์ (ml)	Blank (ml)
น้ำกลัน	-	0.2
KNO ₃ ความเข้มข้นต่างๆ	0.2	-
5% Salicylic acid ใน conc. H ₂ SO ₄	0.8	0.8

ตั้งทิ้งไว้ที่อุณหภูมิห้อง 20 นาที จากนั้นเติม 4 นอร์มอล NaOH 9.5 มิลลิลิตร เขย่าให้เข้ากัน ตั้งทิ้งไว้จนกว่าสารละลายในหลอดจะเย็นลง นำไปวัดค่าการดูดกลืนแสงที่ความยาวคลื่น 410 นาโนเมตร

การวัดปริมาณในเขตในสารละลายตัวอย่าง

นำเสนอรายตัวอย่างที่ต้องการวัดมาเจือจากด้วยน้ำกลันที่กำจัดไออกอนแล้วให้ได้ปริมาณ ในเตตอญูในช่วง 0.1-0.5 ไมครโนลต่อ 0.2 มิลลิลิตร นำมาใส่หลอดทดลองแล้วหาปริมาณในเตตอ เซ็นเดียวกับการทำกราฟมาตรฐานในเตตอ



รูปที่ 37. ปฏิกิริยาการเกิด nitrosalicylic acid จาก salicylic acid กับ nitrate ในสภาวะเป็นกรดอย่างแรง (สมศักดิ์ มณีพงษ์, 2537)

สูตรอาหาร BG-11 สำหรับเพาะเลี้ยงสาหร่าย

ใช้อาหารสูตร BG-11 (พิมพ์รวม ต้นสกุล, 2534) โดยเตรียมเป็น stock ความเข้มข้น 20 เท่าเมื่อจะใช้ จึงนำมาเจือจาก ปรับ pH ให้ได้ 7.4 และฆ่าเชื้อด้วย Autoclave ที่อุณหภูมิ 121 องศาเซลเซียส ความดัน 15 ปอนด์ต่อตารางนิ้ว เป็นเวลา 15 นาที

ตารางที่ 6.1 สูตรอาหาร BG-11 (พิมพ์รวม ต้นสกุล, 2534)

สารเคมี	ความเข้มข้น (g/l)
NaNO ₃	15.0
K ₂ HPO ₄	0.4
MgSO ₄ .7H ₂ O	0.75
CaCl ₂ .2H ₂ O	0.36
Citric acid	0.06
Ferric ammonium citrate	0.06
EDTA disodium magnesium salt	0.01
Na ₂ CO ₃	0.02
Trace metal mix A5	1.0 ml

เติมยาตุ่นอาหารเหล่านี้ลงใน Deionized water 1,000 มิลลิลิตร ปรับค่าความเป็นกรด-ด่างเป็น 7.4 นำไปปั่นผ่าเชื้อด้วยใช้ Autoclave ความดันไม่超 15 ปอนด์ต่อตารางนิ้ว 121 องศาเซลเซียส เป็นเวลา 15 นาที

ตารางที่ 6.2 ส่วนประกอบของ Trace metal mix A5

สารเคมี	ความเข้มข้น (g/l)
H ₃ BO ₄	28.6
MnCl ₂ .4H ₂ O	18.1
ZnSO ₄ .7H ₂ O	2.22
NaMoO ₄ .2H ₂ O	3.9
CuSO ₄ .5H ₂ O	0.079
Co(NO ₃) ₂ .6H ₂ O	0.494

ตารางที่ 6.3 อัตราการเติบโตของสาหร่าย (วัดโดยวิธีวัดค่าการดูดกลืนแสงที่ความยาวคลื่น 560 นาโนเมตร) เพาะเลี้ยงด้วยอาหารสูตรดัดแปลง BG-11 ที่มีความเข้มข้นในเตรต 17 (1.5 กรัมต่อลิตร), 35 (3.0 กรัมต่อลิตร) และ 53 มิลลิโมลาร์ (4.5 กรัมต่อลิตร) ภายใต้ความเข้มแสง $175 \text{ } \mu\text{mole m}^{-2} \text{ s}^{-1}$

[NaNO ₃] วันที่ทดลอง	17 mM	35 mM	53 mM
0	$0.019 \pm 0.002^{\text{a}}$	$0.012 \pm 0.001^{\text{a}}$	$0.012 \pm 0.002^{\text{a}}$
1	$0.071 \pm 0.002^{\text{b}}$	$0.053 \pm 0.008^{\text{b}}$	$0.065 \pm 0.006^{\text{b}}$
2	$0.385 \pm 0.035^{\text{c}}$	$0.355 \pm 0.035^{\text{c}}$	$0.365 \pm 0.049^{\text{c}}$
3	$0.845 \pm 0.106^{\text{d}}$	$0.810 \pm 0.098^{\text{d}}$	$0.855 \pm 0.148^{\text{d}}$
4	$1.400 \pm 0.141^{\text{e}}$	$1.550 \pm 0.098^{\text{e}}$	$1.450 \pm 0.071^{\text{e}}$
5	$1.800 \pm 0.141^{\text{f}}$	$1.850 \pm 0.021^{\text{f}}$	$1.900 \pm 0.000^{\text{f}}$
6	$2.100 \pm 0.000^{\text{g}}$	$1.900 \pm 0.028^{\text{g}}$	$1.800 \pm 0.141^{\text{g}}$
7	$2.050 \pm 0.121^{\text{h}}$	$1.250 \pm 0.035^{\text{hh}}$	$1.210 \pm 0.092^{\text{hh}}$

^h, ^{hh} แสดงความแตกต่างของข้อมูลในวันที่ 7 ของการเพาะเลี้ยงที่ระดับความเชื่อมั่น 95% วิเคราะห์ความแตกต่างของข้อมูลในແກວເດືອກກັນ
ตัวอักษรที่แตกต่างกันแสดงความแตกต่างของข้อมูลที่ความเชื่อมั่น 95%

ตารางที่ 6.4 อัตราการเติบโตของสาหร่าย (วัดโดยวิธีวัดค่าการดูดกลืนแสงที่ความยาวคลื่น 560 นาโนเมตร) เพาะเลี้ยงด้วยอาหารสูตรดัดแปลง BG-11 ที่มีความเข้มข้นในแต่ต 0, 5.9 (0.5 กรัมต่อลิตร), 11.7 (1.0 กรัมต่อลิตร) และ 17 มิลลิโมลาร์ (1.5 กรัมต่อลิตร) ภายใต้ความเข้มแสง $175 \text{ } \mu\text{mole m}^{-2} \text{ s}^{-1}$

$[\text{NaNO}_3]$ วันที่ทดลอง	0 mM	5.9 mM	11.7 mM	17 mM
0	$0.020 \pm 0.005^{\text{a}}$	$0.020 \pm 0.000^{\text{a}}$	$0.020 \pm 0.000^{\text{a}}$	$0.020 \pm 0.000^{\text{a}}$
1	$0.033 \pm 0.005^{\text{b}}$	$0.030 \pm 0.000^{\text{b}}$	$0.030 \pm 0.007^{\text{b}}$	$0.030 \pm 0.000^{\text{b}}$
2	$0.033 \pm 0.005^{\text{c}}$	$0.160 \pm 0.021^{\text{cc}}$	$0.180 \pm 0.021^{\text{cc}}$	$0.160 \pm 0.049^{\text{cc}}$
3	$0.030 \pm 0.008^{\text{d}}$	$0.400 \pm 0.084^{\text{dd}}$	$0.450 \pm 0.070^{\text{dd}}$	$0.530 \pm 0.000^{\text{dd}}$
4	$0.023 \pm 0.015^{\text{e}}$	$0.780 \pm 0.084^{\text{ee}}$	$0.920 \pm 0.035^{\text{ee}}$	$0.890 \pm 0.000^{\text{ee}}$
5	$0.013 \pm 0.009^{\text{f}}$	$1.250 \pm 0.078^{\text{ff}}$	$1.320 \pm 0.064^{\text{ff}}$	$1.310 \pm 0.000^{\text{ff}}$
6	$0.015 \pm 0.010^{\text{g}}$	$1.670 \pm 0.007^{\text{gg}}$	$1.850 \pm 0.086^{\text{gg}}$	$1.650 \pm 0.000^{\text{gg}}$
7	$0.015 \pm 0.013^{\text{h}}$	$2.130 \pm 0.014^{\text{hh}}$	$1.990 \pm 0.049^{\text{hh}}$	$2.050 \pm 0.007^{\text{hh}}$
8	$0.015 \pm 0.006^{\text{i}}$	$2.210 \pm 0.057^{\text{ii}}$	$1.830 \pm 0.146^{\text{ii}}$	$1.990 \pm 0.014^{\text{ii}}$

^{c, cc}, แสดงความแตกต่างของข้อมูลในวันที่ 2 ของการเพาะเลี้ยงที่ระดับความเชื่อมั่น 95%

^{d, dd}, แสดงความแตกต่างของข้อมูลในวันที่ 3 ของการเพาะเลี้ยงที่ระดับความเชื่อมั่น 95%

^{e, ee}, แสดงความแตกต่างของข้อมูลในวันที่ 4 ของการเพาะเลี้ยงที่ระดับความเชื่อมั่น 95%

^{f, ff}, แสดงความแตกต่างของข้อมูลในวันที่ 5 ของการเพาะเลี้ยงที่ระดับความเชื่อมั่น 95%

^{g, gg}, แสดงความแตกต่างของข้อมูลในวันที่ 6 ของการเพาะเลี้ยงที่ระดับความเชื่อมั่น 95%

^{h, hh}, แสดงความแตกต่างของข้อมูลในวันที่ 7 ของการเพาะเลี้ยงที่ระดับความเชื่อมั่น 95%

^{i, ii}, แสดงความแตกต่างของข้อมูลในวันที่ 8 ของการเพาะเลี้ยงที่ระดับความเชื่อมั่น 95%

วิเคราะห์ความแตกต่างของข้อมูลในແລວเดียวกัน

ตัวอักษรที่แตกต่างกันแสดงความแตกต่างของข้อมูลที่ความเชื่อมั่น 95%

ตารางที่ 6.5 อัตราการเติบโตของสาหร่าย (วัดโดยวิธีวัดค่าการดูดกลืนแสงที่ความยาวคลื่น 560 นาโนเมตร) เพาะเลี้ยงด้วยอาหารสูตรดัดแปลง BG-11 ที่มีความเข้มข้นในต่อ 0.25, 0.5 และ 1.0 มิลลิโมลาร์ ภายใต้ความเข้มแสง $175 \mu\text{mole m}^{-2} \text{ s}^{-1}$

$[\text{NaNO}_3]$ วันที่ทดลอง	500 μM	1000 μM	2000 μM
0	$0.055 \pm 0.006^{\text{a}}$	$0.065 \pm 0.008^{\text{a}}$	$0.055 \pm 0.007^{\text{a}}$
1	$0.085 \pm 0.005^{\text{b}}$	$0.100 \pm 0.006^{\text{bb}}$	$0.100 \pm 0.005^{\text{bb}}$
2	$0.140 \pm 0.006^{\text{c}}$	$0.250 \pm 0.009^{\text{cc}}$	$0.280 \pm 0.009^{\text{ccc}}$
3	$0.468 \pm 0.006^{\text{d}}$	$0.665 \pm 0.019^{\text{dd}}$	$0.768 \pm 0.024^{\text{ddd}}$
4	$0.768 \pm 0.014^{\text{e}}$	$1.048 \pm 0.054^{\text{ee}}$	$1.218 \pm 0.060^{\text{eee}}$
5	$0.572 \pm 0.049^{\text{f}}$	$1.253 \pm 0.091^{\text{ff}}$	$1.588 \pm 0.104^{\text{ff}}$
6	$0.503 \pm 0.084^{\text{g}}$	$1.245 \pm 0.112^{\text{gg}}$	$1.973 \pm 0.129^{\text{ggg}}$
7			$1.845 \pm 0.152^{\text{h}}$

^{b bb}, แสดงความแตกต่างของข้อมูลในวันที่ 1 ของการเพาะเลี้ยงที่ระดับความเชื่อมั่น 95%

^{c cc , ccc}, แสดงความแตกต่างของข้อมูลในวันที่ 2 ของการเพาะเลี้ยงที่ระดับความเชื่อมั่น 95%

^{d dd , ddd}, แสดงความแตกต่างของข้อมูลในวันที่ 3 ของการเพาะเลี้ยงที่ระดับความเชื่อมั่น 95%

^{e ee , eee}, แสดงความแตกต่างของข้อมูลในวันที่ 4 ของการเพาะเลี้ยงที่ระดับความเชื่อมั่น 95%

^{f ff , fff}, แสดงความแตกต่างของข้อมูลในวันที่ 5 ของการเพาะเลี้ยงที่ระดับความเชื่อมั่น 95%

^{g gg , ggg}, แสดงความแตกต่างของข้อมูลในวันที่ 6 ของการเพาะเลี้ยงที่ระดับความเชื่อมั่น 95%

วิเคราะห์ความแตกต่างของข้อมูลในแกรเดียวกัน

ตัวอักษรที่แตกต่างกันแสดงความแตกต่างของข้อมูลที่ความเชื่อมั่น 95%

ตารางที่ 6.6 อัตราการเติบโตของสาหร่าย (วัดโดยวิธีวัดค่าการดูดกลืนแสงที่ความยาวคลื่น 560 นาโนเมตร) เพาะเลี้ยงด้วยอาหารสูตรดัดแปลง BG-11 ที่มีความเข้มข้นในเตรต 1.0 มิลลิโมลาร์ ภายใต้ความเข้มแสง $175 \mu\text{mole m}^{-2} \text{s}^{-1}$ ที่อุณหภูมิ 25, 35, 40 และ 45 องศาเซลเซียส

อุณหภูมิ (°C) วันที่ทดลอง	25	35	40	45
0	$0.062 \pm 0.004^{\text{a}}$	$0.063 \pm 0.00^{\text{a}}$	$0.067 \pm 0.00^{\text{a}}$	$0.062 \pm 0.004^{\text{a}}$
1	$0.215 \pm 0.008^{\text{b}}$	$0.210 \pm 0.018^{\text{b}}$	$0.130 \pm 0.006^{\text{b}}$	$0.055 \pm 0.005^{\text{b}}$
2	$0.957 \pm 0.028^{\text{c}}$	$0.408 \pm 0.015^{\text{cc}}$	$0.163 \pm 0.008^{\text{ccc}}$	$0.065 \pm 0.005^{\text{cccc}}$
3	$1.635 \pm 0.130^{\text{d}}$	$0.682 \pm 0.026^{\text{dd}}$	$0.245 \pm 0.016^{\text{ddd}}$	$0.055 \pm 0.021^{\text{dddd}}$
4	$1.755 \pm 0.178^{\text{e}}$	$0.950 \pm 0.030^{\text{ee}}$	$0.380 \pm 0.015^{\text{eee}}$	$0.053 \pm 0.018^{\text{eeee}}$
5	$1.930 \pm 0.165^{\text{f}}$	$1.197 \pm 0.058^{\text{ff}}$	$0.483 \pm 0.048^{\text{fff}}$	$0.125 \pm 0.185^{\text{ffff}}$

^{c cc ccc cccc} แสดงความแตกต่างของข้อมูลในวันที่ 2 ของการเพาะเลี้ยงที่ระดับความเชื่อมั่น 95%
^{d dd ddd dddd} แสดงความแตกต่างของข้อมูลในวันที่ 3 ของการเพาะเลี้ยงที่ระดับความเชื่อมั่น 95%

^{e ee eee eeee} แสดงความแตกต่างของข้อมูลในวันที่ 4 ของการเพาะเลี้ยงที่ระดับความเชื่อมั่น 95%
^{f ff fff ffff} แสดงความแตกต่างของข้อมูลในวันที่ 5 ของการเพาะเลี้ยงที่ระดับความเชื่อมั่น 95%

วิเคราะห์ความแตกต่างของข้อมูลในแطرเดียวกัน

ตัวอักษรที่แตกต่างกันแสดงความแตกต่างของข้อมูลที่ความเชื่อมั่น 95%

ตารางที่ 6.7 การดูดซึบในเตรอตของสาหร่ายที่เพาะเลี้ยงด้วยคานาธารสูตรดัดแปลง BG-11 ที่มีความเข้มข้นในเตרוต 1.0 มิลลิโมลาร์ ภายใต้ความเร็วแสง $175 \mu\text{mole m}^{-2} \text{s}^{-1}$ ที่อุณหภูมิ 25, 35, 40 และ 45 องศาเซลเซียส

อุณหภูมิ (°C) วันที่ทดลอง	25	35	40	45
0	$1.05 \pm 0.07^{\text{a}}$	$1.00 \pm 0.00^{\text{a}}$	$1.05 \pm 0.007^{\text{a}}$	$1.03 \pm 0.00^{\text{a}}$
1	$0.80 \pm 0.14^{\text{b}}$	$0.75 \pm 0.07^{\text{b}}$	$0.90 \pm 0.14^{\text{b}}$	$1.03 \pm 0.012^{\text{b}}$
2	$0.45 \pm 0.07^{\text{c}}$	$0.45 \pm 0.07^{\text{c}}$	$0.85 \pm 0.07^{\text{cc}}$	$1.01 \pm 0.012^{\text{cc}}$
3	$0.10 \pm 0.00^{\text{d}}$	$0.15 \pm 0.07^{\text{d}}$	$0.75 \pm 0.07^{\text{dd}}$	$1.00 \pm 0.011^{\text{dd}}$
4	$0.065 \pm 0.02^{\text{e}}$	$0.10 \pm 0.00^{\text{e}}$	$0.60 \pm 0.14^{\text{ee}}$	$1.00 \pm 0.010^{\text{eee}}$

^c, ^{cc}, ^{ccc} แสดงความแตกต่างของข้อมูลในวันที่ 2 ของการเพาะเลี้ยงที่ระดับความเชื่อมั่น 95%

^d, ^{dd}, ^{ddd} แสดงความแตกต่างของข้อมูลในวันที่ 3 ของการเพาะเลี้ยงที่ระดับความเชื่อมั่น 95%

^e, ^{ee}, ^{eee}, ^{eeee} แสดงความแตกต่างของข้อมูลในวันที่ 4 ของการเพาะเลี้ยงที่ระดับความเชื่อมั่น 95%

วิเคราะห์ความแตกต่างของข้อมูลในแต่เดียวกัน

ตัวอักษรที่แตกต่างกันแสดงความแตกต่างของข้อมูลที่ความเชื่อมั่น 95%

ตารางที่ 6.8 การปล่อยไนโตรต์ในอาหารของสาหร่ายที่เพาะเลี้ยงด้วยอาหารสูตรดัดแปลง BG-11 ที่มีความเข้มข้นในเตรต 1.0 มิลลิไมลาร์ ภายใต้ความเข้มแสง $175 \mu\text{mole m}^{-2} \text{ s}^{-1}$ ที่อุณหภูมิ 25, 35, 40 และ 45 องศาเซลเซียส

อุณหภูมิ (°C) วันที่ทดลอง	25	35	40	45
0	$0.70 \pm 0.495^{\text{a}}$	$0.94 \pm 0.089^{\text{a}}$	$1.02 \pm 0.082^{\text{a}}$	$0.72 \pm 0.035^{\text{a}}$
1	$2.44 \pm 0.105^{\text{b,bb}}$	$3.76 \pm 0.179^{\text{bb}}$	$2.70 \pm 0.274^{\text{b,bb}}$	$1.50 \pm 0.140^{\text{b}}$
2	$8.14 \pm 0.001^{\text{c,cc}}$	$10.68 \pm 0.242^{\text{cc}}$	$3.50 \pm 0.115^{\text{c}}$	$2.14 \pm 0.625^{\text{c}}$
3	$3.96 \pm 0.076^{\text{d}}$	$17.36 \pm 0.135^{\text{dd}}$	$8.14 \pm 0.055^{\text{ddd}}$	$2.54 \pm 0.521^{\text{d}}$
4	$3.36 \pm 0.305^{\text{e}}$	$1.96 \pm 0.126^{\text{e}}$	$15.08 \pm 0.974^{\text{ee}}$	$1.94 \pm 0.367^{\text{e}}$

^{a, bb} แสดงความแตกต่างของข้อมูลในวันที่ 1 ของการเพาะเลี้ยงที่ระดับความเชื่อมั่น 95%

^{c, cc} แสดงความแตกต่างของข้อมูลในวันที่ 2 ของการเพาะเลี้ยงที่ระดับความเชื่อมั่น 95%

^{d, dd, ddd} แสดงความแตกต่างของข้อมูลในวันที่ 3 ของการเพาะเลี้ยงที่ระดับความเชื่อมั่น 95%

^{e, ee, eee} แสดงความแตกต่างของข้อมูลในวันที่ 4 ของการเพาะเลี้ยงที่ระดับความเชื่อมั่น 95%

วิเคราะห์ความแตกต่างของข้อมูลในแกรเดียวกัน

ตัวอักษรที่แตกต่างกันแสดงความแตกต่างของข้อมูลที่ความเชื่อมั่น 95%

ตารางที่ 6.9 สาหร่ายเพาะเลี้ยงด้วยอาหารสูตรดั้ดแปลง BG-11 ที่มีความเข้มข้นในเตตอต 1.0 มิลลิโมลาร์ ภายใต้ความเข้มแสง 120, 137, 152 และ $452 \mu\text{mole m}^{-2} \text{s}^{-1}$

ความเข้มแสง ($\mu\text{mole m}^{-2} \text{s}^{-1}$)	120	137	152	452
วันที่ทดลอง				
0	$0.022 \pm 0.003^{\text{a}}$	$0.025 \pm 0.005^{\text{a}}$	$0.023 \pm 0.004^{\text{a}}$	$0.021 \pm 0.008^{\text{a}}$
2	$0.586 \pm 0.179^{\text{b}}$	$0.263 \pm 0.013^{\text{b}}$	$0.168 \pm 0.011^{\text{bb}}$	$0.159 \pm 0.025^{\text{bb}}$
3	$1.333 \pm 0.040^{\text{c}}$	$0.845 \pm 0.023^{\text{c}}$	$0.333 \pm 0.063^{\text{cc}}$	$0.320 \pm 0.054^{\text{ccc}}$
6	$1.571 \pm 0.133^{\text{d}}$	$1.621 \pm 0.017^{\text{d}}$	$1.001 \pm 0.129^{\text{dd}}$	$0.900 \pm 0.023^{\text{ddd}}$

^b, ^{bb} แสดงความแตกต่างของข้อมูลในวันที่ 2 ของการเพาะเลี้ยงที่ระดับความเชื่อมั่น 95%

^c, ^{cc}, ^{ccc} แสดงความแตกต่างของข้อมูลในวันที่ 3 ของการเพาะเลี้ยงที่ระดับความเชื่อมั่น 95%

^d, ^{dd}, ^{ddd} แสดงความแตกต่างของข้อมูลในวันที่ 6 ของการเพาะเลี้ยงที่ระดับความเชื่อมั่น 95%

วิเคราะห์ความแตกต่างของข้อมูลในแกรวเดียวกัน

ตัวอักษรที่แตกต่างกันแสดงความแตกต่างของข้อมูลที่ความเชื่อมั่น 95%

ตารางที่ 6.10 อัตราการเติบโตของสาหร่าย (วัดโดยวิธีวัดค่าการดูดกลืนแสงที่ความยาวคลื่น 560 นาโนเมตร) เพาะเลี้ยงด้วยอาหารสูตรดัดแปลง BG-11 ที่มีความเข้มข้นใน เตրต 1.0 มิลลิโมลาร์ ภายใต้ความเข้มแสง $137 \mu\text{mole m}^{-2} \text{ s}^{-1}$ ที่เขย่าและไม่ เขย่า

วันที่ทดลอง	No shake	Shake
0	$0.070 \pm 0.006^{\text{a}}$	$0.068 \pm 0.004^{\text{a}}$
1	$0.148 \pm 0.008^{\text{b}}$	$0.238 \pm 0.008^{\text{bb}}$
2	$0.272 \pm 0.032^{\text{c}}$	$0.545 \pm 0.015^{\text{cc}}$
3	$0.445 \pm 0.018^{\text{d}}$	$0.915 \pm 0.029^{\text{dd}}$
4	$0.713 \pm 0.055^{\text{e}}$	$1.36 \pm 0.022^{\text{ee}}$

^b, ^{bb} แสดงความแตกต่างของข้อมูลในวันที่ 1 ของการเพาะเลี้ยงที่ระดับความเชื่อมั่น 95%

^c, ^{cc} แสดงความแตกต่างของข้อมูลในวันที่ 2 ของการเพาะเลี้ยงที่ระดับความเชื่อมั่น 95%

^d, ^{dd} แสดงความแตกต่างของข้อมูลในวันที่ 3 ของการเพาะเลี้ยงที่ระดับความเชื่อมั่น 95%

^e, ^{ee} แสดงความแตกต่างของข้อมูลในวันที่ 4 ของการเพาะเลี้ยงที่ระดับความเชื่อมั่น 95%

วิเคราะห์ความแตกต่างของข้อมูลในแกรเดียวกัน

ตัวอักษรที่แตกต่างกันแสดงความแตกต่างของข้อมูลที่ความเชื่อมั่น 95%

ตารางที่ 6.11 การดูดซึบปืนเตราตของสาหร่ายที่เพาะเลี้ยงด้วยอาหารสูตรดัดแปลง BG-11 ที่มีความเข้มข้นในเตราต 1.0 มิลลิโนลาร์ ภายใต้ความเร็วแสง $137 \mu\text{mole m}^{-2} \text{s}^{-1}$ ที่เขย่าและไม่เขย่า

วันที่ทดลอง	No shake	Shake
0	$1.00 \pm 0.014^{\text{a}}$	$1.00 \pm 0.020^{\text{a}}$
1	$0.745 \pm 0.005^{\text{b}}$	$0.896 \pm 0.011^{\text{b}}$
2	$0.465 \pm 0.002^{\text{c}}$	$0.856 \pm 0.007^{\text{cc}}$
3	$0.160 \pm 0.007^{\text{d}}$	$0.635 \pm 0.004^{\text{dd}}$
4	$0.109 \pm 0.004^{\text{e}}$	$0.362 \pm 0.007^{\text{ee}}$
5		$0.256 \pm 0.006^{\text{f}}$
6		$0.078 \pm 0.005^{\text{g}}$

^{c cc}, แสดงความแตกต่างของข้อมูลในวันที่ 2 ของการเพาะเลี้ยงที่ระดับความเชื่อมั่น 95%

^{d dd}, แสดงความแตกต่างของข้อมูลในวันที่ 3 ของการเพาะเลี้ยงที่ระดับความเชื่อมั่น 95%

^{e ee}, แสดงความแตกต่างของข้อมูลในวันที่ 4 ของการเพาะเลี้ยงที่ระดับความเชื่อมั่น 95%

วิเคราะห์ความแตกต่างของข้อมูลในแกราเดียร์กัน

ตัวอักษรที่แตกต่างกันแสดงความแตกต่างของข้อมูลที่ความเชื่อมั่น 95%

ตารางที่ 6.12 การปล่อยไนโตรต์ในอาหารของสาหร่ายที่เพาะเลี้ยงด้วยอาหารสูตรดัดแปลง BG-11 ที่มีความเข้มข้นในเตตระ 1.0 มิลลิโมลาร์ ภายใต้ความเข้มแสง 137 $\mu\text{mole m}^{-2} \text{ s}^{-1}$ ที่เขย่าและไม่เขย่า

วันที่ทดลอง	No shake	Shake
0	0.433 \pm 0.0002 ^a	0.367 \pm 0.0001 ^a
1	0.416 \pm 0.0003 ^b	2.200 \pm 0.0011 ^{bb}
2	7.070 \pm 0.0010 ^c	2.330 \pm 0.0002 ^{cc}
3	6.760 \pm 0.0006 ^d	4.067 \pm 0.0012 ^{dd}
4	1.600 \pm 0.0000 ^e	6.733 \pm 0.0007 ^{ee}
5		6.067 \pm 0.0008 ^f
6		0.400 \pm 0.0002 ^g

^b, ^{bb} แสดงความแตกต่างของข้อมูลในวันที่ 1 ของการเพาะเลี้ยงที่ระดับความเชื่อมั่น 95%

^c, ^{cc} แสดงความแตกต่างของข้อมูลในวันที่ 2 ของการเพาะเลี้ยงที่ระดับความเชื่อมั่น 95%

^d, ^{dd} แสดงความแตกต่างของข้อมูลในวันที่ 3 ของการเพาะเลี้ยงที่ระดับความเชื่อมั่น 95%

^e, ^{ee} แสดงความแตกต่างของข้อมูลในวันที่ 4 ของการเพาะเลี้ยงที่ระดับความเชื่อมั่น 95%

วิเคราะห์ความแตกต่างของข้อมูลในแวดวงกัน

ตัวอักษรที่แตกต่างกันแสดงความแตกต่างของข้อมูลที่ความเชื่อมั่น 95%

ตารางที่ 6.13 ค่าแอกติวิตีของเอนไซม์ NR เมื่อเก็บเอนไซม์ในบัฟเฟอร์ที่มี glycerol เข้มข้น 0, 20, และ 40 เปอร์เซ็นต์

Glycerol (%) วันที่ทดลอง	0	20	40
1	0.51 ^a	0	0
2	3.16 ^b	0.032 ± 0.00 ^b	0.025 ± 0.021 ^b
3	4.45 ^c	0.167 ± 0.024 ^c	0.15 ± 0.00 ^c
4	4.84 ^d	0.23 ± 0.00 ^{dd}	0.15 ± 0.010 ^{ddd}
5	0.67 ^e	0.85 ± 0.00 ^{ee}	0.45 ± 0.00 ^{eee}
7	1.07 ^f	0.98 ± 0.317 ^{ff}	0.16 ± 0.00 ^{fff}
9	1.16 ^g	1.21 ± 0.023 ^{gg}	0.28 ± 0.071 ^{ggg}
16	0.2 ^h	0.60 ± 0.177 ^{hh}	0.21 ± 0.00 ^{hh}
22	0.16 ⁱ	0.40 ± 0.139 ⁱⁱ	0.21 ± 0.035 ⁱⁱⁱ

^{a, dd, ddd} แสดงความแตกต่างของข้อมูลในวันที่ 4 ของการเพาะเลี้ยงที่ระดับความเชื่อมั่น 95%

^{e, ee, eee} แสดงความแตกต่างของข้อมูลในวันที่ 5 ของการเพาะเลี้ยงที่ระดับความเชื่อมั่น 95%

^{f, ff, fff} แสดงความแตกต่างของข้อมูลในวันที่ 7 ของการเพาะเลี้ยงที่ระดับความเชื่อมั่น 95%

^{g, gg, ggg} แสดงความแตกต่างของข้อมูลในวันที่ 9 ของการเพาะเลี้ยงที่ระดับความเชื่อมั่น 95%

^{h, hh,hhh} แสดงความแตกต่างของข้อมูลในวันที่ 16 ของการเพาะเลี้ยงที่ระดับความเชื่อมั่น 95%

^{i, ii, iii} แสดงความแตกต่างของข้อมูลในวันที่ 22 ของการเพาะเลี้ยงที่ระดับความเชื่อมั่น 95%

วิเคราะห์ความแตกต่างของข้อมูลในແກຣມเดียวกัน

ตัวอักษรที่แตกต่างกันแสดงความแตกต่างของข้อมูลที่ความเชื่อมั่น 95%

ตารางที่ 6.14 ค่าแอกติวิตีของเอนไซม์ NR เมื่อเก็บคอนไซเมเนบัฟเฟอร์ที่มี glycerol เข้มข้น 0, 3, 10 และ 15 เปอร์เซ็นต์

Glycerol (%) วันที่ทดลอง	0	3	10	15
1	1.62 ^a	2.3 \pm 0.212 ^a	1.96 \pm 0.410 ^a	1.53 \pm 0.078 ^a
3	3.02 ^b	8.2 \pm 0.141 ^{bb}	7.88 \pm 0.148 ^{bb}	7.47 \pm 0.509 ^{bb}
6	0.96 ^c	7.59 \pm 0.247 ^{cc}	7.10 \pm 0.035 ^{cc}	8.95 \pm 0.728 ^{cc}
9	0.74 ^d	9.32 \pm 0.495 ^{dd}	10.05 \pm 0.042 ^{dd}	5.98 \pm 0.48 ^{ddd}
14	0.44 ^e	5.89 \pm 0.428 ^{ee}	7.20 \pm 0.532 ^{eee}	6.78 \pm 0.311 ^{eeee}
20	0.172 ^f	6.25 \pm 0.233 ^{ff}	6.09 \pm 0.848 ^{fff}	8.14 \pm 0.092 ^{ffff}

^{b bb}, แสดงความแตกต่างของข้อมูลในวันที่ 3 ของการเพาะเลี้ยงที่ระดับความเชื่อมั่น 95%

^{c cc}, แสดงความแตกต่างของข้อมูลในวันที่ 6 ของการเพาะเลี้ยงที่ระดับความเชื่อมั่น 95%

^{d dd ddd}, แสดงความแตกต่างของข้อมูลในวันที่ 9 ของการเพาะเลี้ยงที่ระดับความเชื่อมั่น 95%

^{e ee eee eeee}, แสดงความแตกต่างของข้อมูลในวันที่ 14 ของการเพาะเลี้ยงที่ระดับความเชื่อมั่น 95%

^{f ff fff ffff}, แสดงความแตกต่างของข้อมูลในวันที่ 20 ของการเพาะเลี้ยงที่ระดับความเชื่อมั่น 95%

วิเคราะห์ความแตกต่างของข้อมูลใน ใบแกรเดียวกัน

ตัวอักษรที่แตกต่างกันแสดงความแตกต่างของข้อมูลที่ความเชื่อมั่น 95%

ตารางที่ 6.15 ค่าเอดดิติฟีของเอนไซม์ NR เมื่อใช้ NADH, NADPH และ Methyl viologen เป็นตัวให้อิเล็กตรอน

สารเคมี	กิจกรรมเอนไซม์ (nmole/min)
Control	0.425 ± 0.007 ^a
NADH	0.425 ± 0.007 ^a
NADPH	0.410 ± 0.014 ^a
Methyl viologen	0.510 ± 0.057 ^{aa}

^{a, aa} แสดงความแตกต่างของข้อมูลกิจกรรมเอนไซม์ ที่ระดับความเชื่อมั่น 95% วิเคราะห์ความแตกต่างของข้อมูลในคอลัมน์เดียวกัน
ตัวอักษรที่แตกต่างกันแสดงความแตกต่างของข้อมูลที่ความเชื่อมั่น 95%

ตารางที่ 6.16 ค่าเอดดิติฟีของเอนไซม์ NR เมื่อใช้ Succinate salt, Bromophenol blue, Methyl viologen เป็นตัวให้อิเล็กตรอน

สารเคมี	กิจกรรมเอนไซม์ (nmole/min)
Control	1.685 ± 0.049 ^a
Succinate salt	1.52 ± 0.042 ^{a a, aaa}
Bromophenol blue	1.475 ± 0.078 ^{aa}
Methyl viologen	1.625 ± 0.007 ^{a, aaa}

^{a, aa, aaa} แสดงความแตกต่างของข้อมูลกิจกรรมเอนไซม์ ที่ระดับความเชื่อมั่น 95% วิเคราะห์ความแตกต่างของข้อมูลในคอลัมน์เดียวกัน
ตัวอักษรที่แตกต่างกันแสดงความแตกต่างของข้อมูลที่ความเชื่อมั่น 95%

ตารางที่ 6.17 ค่าแอคติวิตี้ของเอนไซม์ NR เมื่อใช้ Sodium azide, Sodium Thiocyanate, Arsenic trioxide และ Potassium Ferricyanide เป็นตัวยับยั้งกิจกรรมเอนไซม์

สารเคมี	กิจกรรมเอนไซม์ (nmole/min)
Control	1.21 ± 0.014 ^a
Sodium azide	0.143 ± 0.014 ^{aa}
Sodium thiocyanate	1.078 ± 0.031 ^a
Arsenic trioxide	1.03 ± 0.226 ^a
Potassium ferricyanide	1.055 ± 0.148 ^a

^{a, aa} แสดงความแตกต่างของข้อมูลกิจกรรมเอนไซม์ที่ระดับความเชื่อมั่น 95%
วิเคราะห์ความแตกต่างของข้อมูลที่ในกลุ่มนี้เดียวกัน
ตัวอักษรที่แตกต่างกันแสดงความแตกต่างของข้อมูลที่ความเชื่อมั่น 95%

ตารางที่ 6.18 ค่าแอคติวิตี้ของเอนไซม์ NR เมื่อบริสุทธิ์ด้วยสารสกัดหยาบเอนไซม์อุณหภูมิ 0, 4, 30, 40, 50, 60 และ 70 องศาเซลเซียส

อุณหภูมิ (°C)	30	60	90
0	0.798 ± 0.067 ^a	0.599 ± 0.001 ^b	
4	0.866 ± 0.161 ^a	0.598 ± 0.019 ^b	
40	1.569 ± 0.163 ^{aa}	1.764 ± 0.309 ^{bb}	1.670 ± 0.169 ^c
50	1.444 ± 0.013 ^{aa}	0.872 ± 0.021 ^{bbb}	0.839 ± 0.0198 ^c
60	0.280 ± 0.003 ^{aaa}	0.178 ± 0.004 ^{bbbb}	
70	0.110 ± 0.053 ^{aaa}	0.109 ± 0.001 ^{bbbb}	

^{a, aa, aaa} แสดงความแตกต่างของข้อมูลกิจกรรมเอนไซม์ในนาทีที่ 30 ที่ระดับความเชื่อมั่น 95%
^{b, bb, bbb, bbbb, bbbbb} แสดงความแตกต่างของข้อมูลในนาทีที่ 60 ของการเพาะเลี้ยงที่ระดับความเชื่อมั่น 95%

วิเคราะห์ความแตกต่างของข้อมูลในคอลัมน์เดียวกัน

ตัวอักษรที่แตกต่างกันแสดงความแตกต่างของข้อมูลที่ความเชื่อมั่น 95%